

افزایش وضوح تصویر با استفاده از برجستگی بصری

مینا وفایی جهان، عباس ابراهیمی مقدم و مرتضی خادمی درح

تصویر در همسایگی لبه‌ها تعریف می‌شود. این رویکرد برای بازیابی^۳ تصاویر به شدت تار که در آن معمولاً رویکرد دوم موفق عمل نمی‌کند، استفاده می‌شود. در رویکرد دوم، طول شیب انتقال بدون تغییر باقی می‌ماند؛ در حالی که تفاوت بین حداقل و حداکثر مقدار پیکسل‌ها افزایش می‌یابد و وضوح در لبه‌ها را بالا می‌برد [۱] و [۲].

محققان برای افزایش وضوح تصویر روش‌های مختلفی ارائه کرده‌اند؛ از جمله مهم‌ترین آنها روش‌های مبتنی بر فیلتر^۴ (USM)، روش‌های مبتنی بر تعادل هیستوگرام^۵ (HE) و روش‌های مبتنی بر یادگیری^۶ است.

برای هر یک از این روش‌ها الگوریتم‌های متعددی ارائه شده است.

یکی از متداول‌ترین روش‌ها جهت افزایش وضوح تصویر به‌خاطر پیاده‌سازی ساده، سرعت بالا و عدم نیاز به اطلاعات پایه تصویر ورودی، روش فیلتر USM است. در این روش برای ایجاد تصویر بهبودیافته لازم است تا تصویر ورودی با ضربی (ضربی تقویت) از مؤلفه‌های فرکانس بالای استخراج شده از آن جمع شود. فیلتر USM با تأکید بر مؤلفه‌های فرکانس بالای تصویر عمل کرده و باعث افزایش وضوح در لبه‌های تصویر می‌شود. USM نه تنها سیستم را نسبت به نویز بسیار حساس می‌کند بلکه لبه در مناطق با وضوح بالا را بسیار بیشتر از مناطق با وضوح کم افزایش می‌دهد که در نتیجه و در بعضی موارد، باعث ایجاد آثار ناخواسته قوی می‌شود. تلاش‌های زیادی برای بهبود عملکرد فیلتر USM انجام شده که استفاده از فیلترهای بالاگذر و پایین‌گذر، دو روش اساسی برای پیاده‌سازی USM هستند. مزیت فیلترهای بالاگذر، افزایش وضوح مرزهای بین مناطق یکنواخت است؛ اما این فیلترها سیستم‌ها را نسبت به نویز حساس کرده و معمولاً باعث مشکل تیزی بیش از اندازه^۷ می‌شوند که مصنوعی به نظر رسانید تصویر را به دنبال خواهد داشت.

محققان برای کاهش حساسیت به نویز، استفاده از فیلترهای غیرخطی را پیشنهاد کردند. مرجع [۳] یک فیلتر USM بهبودیافته با استفاده از فیلتر درجه دوم^۸ ارائه کرد و [۴] با جایگزینی فیلترهای غیرخطی، روش‌های USM مکعبی^۹ و USM گویا^{۱۰} را توسعه داد. مرجع [۵]، USM مبتنی بر مشتقات کسری^{۱۱}، همراه با فیلتر لبه‌یاب لاپلاسی را برای بهبود تصویر پیشنهاد داد. این روش با حفظ جزئیات فرکانس پایین و متوسط به افزایش وضوح در لبه‌ها پرداخته است. تنظیم پارامترهای اضافی مشتق کسری، درجه آزادی بیشتری را فراهم کرده و باعث اثربخشی

چکیده: افزایش وضوح تصویر در بسیاری موارد به تقویت مؤلفه‌های فرکانس بالای آن و افزایش وضوح در لبه‌ها اطلاق می‌شود. در مدل‌های موجود افزایش وضوح فرض می‌شود که حساسیت سیستم بینایی انسان (HVS) در تمام صحنه یکسان است و تأثیرات توجه بصری (VA) ناشی از برجستگی بصری (VS) در این مدل‌ها لحاظ نشده است. مطالعات مختلف نشان داده‌اند که حساسیت بصری در نقاطی که توجه بیشتری را جلب می‌کند بالاتر است؛ بنابراین افزایش وضوح تصویر مبتنی بر توجه بصری می‌تواند باعث وضوح بیشتر درک شده در تصویر گردد. در این مقاله، مدلی برای افزایش وضوح تصویر پیشنهاد شده که از رابطه بین نقشه مؤلفه‌های فرکانس بالای تصویر و برجستگی بصری برای تعیین مقدار بهینه وضوح تصویر استفاده می‌کند. مدل پیشنهادی با به‌کارگیری یکتابع غیرخطی، مقدار وضوح بهینه برای یک تصویر را با توجه به برجستگی بصری آن بیان می‌کند. تعیین پارامترهای تابع غیرخطی در قالب یک مسئله بهینه‌سازی مدل‌سازی شده که حل آن منجر به یافتن مقدار وضوح بهینه به طور خودکار می‌شود. جهت ارزیابی روش پیشنهادی و نشان دادن کارایی آن، آزمایش‌های ذهنی و عینی انجام شده که نتایج نشان می‌دهند روش پیشنهادی در صورت انتخاب مقادیر مناسب پارامترهای کنترلی، نسبت به دیگر روش‌های مورد مقایسه عملکرد مؤثرتری دارد.

کلیدواژه: افزایش وضوح در لبه‌ها، برجستگی بصری (VS)، توجه بصری (VA).

۱- مقدمه

در حین ثبت یک تصویر، وجود برخی از محدودیت‌های محیطی باعث کاهش وضوح تصویر ثبت شده می‌شود. کاهش وضوح تصویر منجر به ازدست دادن جزئیات در آن شده و استخراج اطلاعات مهم برای پردازش توسط سیستم بینایی انسان^۱ (HVS) و ماشین را با محدودیت مواجه می‌کند. از اهداف مهم برای افزایش وضوح و بهبود تصاویر دیجیتالی، افزایش تفکیک‌پذیری در لبه‌های^۲ تصویر است که این کار با دو رویکرد کلی شامل کاهش طول انتقال لبه و افزایش اختلاف مقادیر پیشنهادی و کمینه پیکسل‌ها در مناطق لبه انجام می‌شود. رویکرد اول توسط الگوریتم‌هایی پیاده می‌شود که سعی در کاهش طول شیب انتقال لبه‌ها دارند. این طول به عنوان فاصله بین مقادیر حداقل و حداکثر پیکسل‌های

این مقاله در تاریخ ۲۲ بهمن ماه ۱۳۸۰ دریافت و در تاریخ ۴ بهمن ماه ۱۴۰۱ بازنگری شد.

مینا وفایی جهان، گروه مخابرات، دانشکده مهندسی برق، دانشگاه فردوسی مشهد، مشهد، ایران، (email: mina.vafaeijahan91@mail.um.ac.ir). عباس ابراهیمی مقدم (نویسنده مسئول)، گروه مخابرات، دانشکده مهندسی برق، دانشگاه فردوسی مشهد، مشهد، ایران، (email: a.ebrahimi@mail.um.ac.ir). مرتضی خادمی درح، گروه مخابرات، دانشکده مهندسی برق، دانشگاه فردوسی مشهد، مشهد، ایران، (email: khademi@mail.um.ac.ir).

1. Human Visual System
2. Acutance

3. Restoration

4. Unsharp Mask

5. Histogram Equalization Based Methods

6. Learning Based Methods

7. Over Sharpening

8. Quadratic

9. Cubic

10. Rational

11. Fractional Derivative

جهت افزایش وضوح تصویر و جلوگیری از تقویت نویز را به صورت همزمان معرفی کرد. این روش مبتنی بر فیلتر هدایت شده است و با استفاده از ادغام فیلتر طبیقی دوطرفه در فیلتر هدایت شده، پیاده سازی شد. روش فوق، لبه ها و بافت ها را بدون ایجاد آثار تصنی و تقویت نویز بهبود داد. مرجع [۱۴] به مطالعه استفاده از فیلتر انتشار ناهمسانگرد مبتنی بر USM با هدف کاهش آثار تصنی در اطراف لبه ها که به صورت سایه های سفید هاله شکل ظاهر شده و باعث تخریب تصویر می شود، پرداخت و برتیری روش خود را با دو معیار ارزیابی کیفیت تصویر نسبت به دیگر روش ها اثبات کرد. مرجع [۱۵] جهت اثربخشی بیشتر در افزایش وضوح لبه های تصویر به صورت ترکیبی از دو فیلتر با ترورث پایین گذر و فیلتر دوطرفه مبتنی بر USM استفاده کرد.

روش مبتنی بر HE، یکی از روش های معمول و مؤثر برای بهبود وضوح تصاویر با روابط ساده ریاضی است. این روش با نگاشت تصویر تحت تابع توزیع تجمعی، باعث بهبود وضوح و روشنایی شده و تابع چکالی احتمال تقریباً یکنواختی ایجاد می کند. استفاده از روش HE به طور معمول باعث مشکلاتی همچون عدم حفظ میانگین روشنایی، افزایش وضوح بیش از حد، حذف جزئیات تصویر و غیرطبیعی کردن تصویر خروجی می شود. محققان برای حل مشکلات فوق، اصلاحات گوناگونی را ارائه کرده اند که ایده اصلی آنها، دسته بندی شدت روش نایابی پیکسل های هم دسته با هم است. این روش ها در نقطه شکستن و تعداد شکستن هیستوگرام با هم متفاوت هستند. روش های مبتنی بر HE دارای دو زیر کلاس متعادل سازی هیستوگرام معمولی^{۱۳} (CHE) و متعادل سازی هیستوگرام ترکیبی^{۱۴} هستند [۱۶]. همچنین زیر کلاس CHE خود به متعادل سازی هیستوگرام سراسری [۱۷]، متعادل سازی هیستوگرام دوتایی زیر تصویر [۱۸]، متعادل سازی هیستوگرام وزنی [۲۰]، متعادل سازی هیستوگرام محلی [۲۱] و متعادل سازی هیستوگرام ناحیه نوردهی^{۱۵} [۲۲] دسته بندی می شود. در میان روش های مبتنی بر یادگیری ماشین، الگوریتم های یادگیری عمیق مبتنی بر شبکه های عصبی کانولوشنی^{۱۶} (CNN) از محبوبیت زیادی برخوردارند؛ با این حال کاربرد این روش ها برای بهینه سازی پارامترهای الگوریتم های پردازش تصویر کم است. در [۲۳] برای بهبود مؤثر تصاویر با وضوح کم از یادگیری عمیق استفاده شده است. در این تحقیق با الهام از USM، یک مدل جدید و ساده شده از فیلتر هدایت شونده پیشنهاد گردیده که برخلاف روش های معمول تنها با تخمین یک ضریب، تصویر بهبودیافته نهایی تولید می شود. در این شبکه، افزایش وضوح، حفظ لبه و بهبود جزئیات تصویر مورد توجه قرار گرفته و با استخراج نقشه لبه و نقشه تاری تصویر توسط دو شبکه فرعی و سپس با آموزش دادن شبکه، ضرایب محلی مدل تخمین زده می شود.

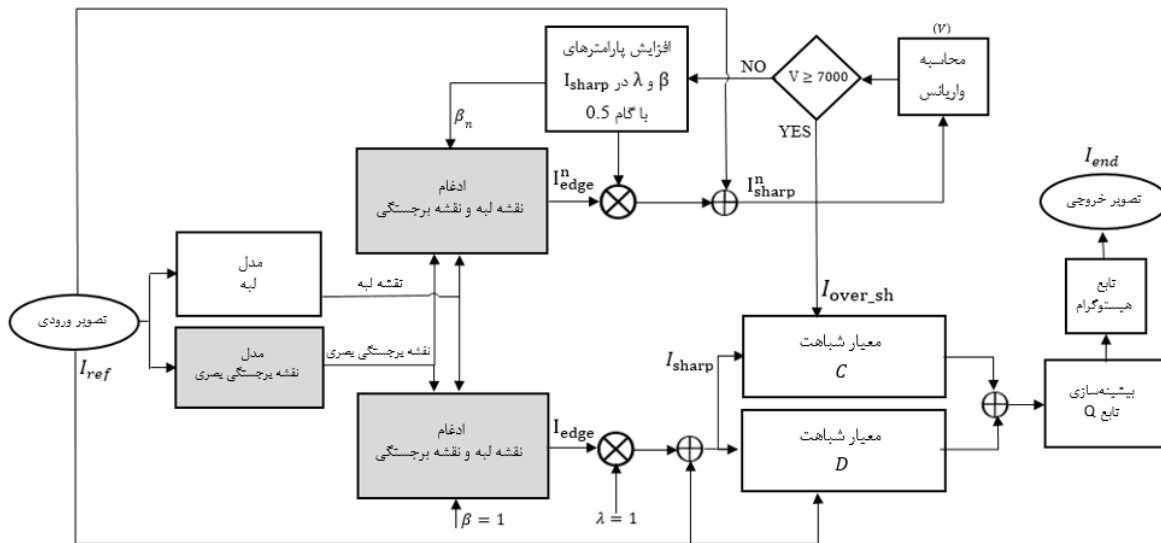
از عوامل مؤثری که می توان در افزایش وضوح تصویر به کار گرفت، مکانیزم توجه بصری^{۱۶} است. سیستم بینایی انسان نیز به منظور کاهش حجم اطلاعات مورد نیاز برای پردازش در مغز از این مکانیزم استفاده می کند تا توسط آن، فقط بخش کوچک تری از داده های ورودی که از اهمیت حیاتی و کاربردی بیشتری برخوردارند، انتخاب شده و سایر داده ها دور ریخته و یا کمتر مورد پردازش قرار گیرند. در واقع، هنگام تماشای

- 12. Conventional HE
- 13. Hybrid HE
- 14. Exposure Region HE
- 15. Convolution Neural Network
- 16. Visual Attention

بیشتر این روش شده است. از آنجا که ضریب تقویت در فیلتر USM، نقش مهمی در میزان کیفیت تصویر بهبودیافته دارد، گاهی به عنوان یک مقدار ثابت فرض شده و در برخی موارد، این ضریب با توجه به محتوای تصویر ورودی به صورت وفقی تعیین می شود. در همین راستا [۶]، یک نسخه بهبودیافته بر اساس USM پویا^۱ را برای حل مشکل تیزی بیش از حد تصاویر ارائه داد که در آن به جای ضریب تقویت ثابت از ضریب تقویت وفقی با استفاده از فیلتر لبه یاب لاپلاسی جهت دار در دو جهت مختلف افقی و عمودی برای هر پیکسل استفاده شد. مرجع [۷] با نگاهی متفاوت، USM هدایت شده با تاری را برای افزایش بهبود پیکسلی بیان کرد. در این روش، لایه های کلیات^۲ و جزئیات^۳ جداگانه پردازش شدند که که در لایه جزئیات، اطلاعات تاری محلی^۴ تصویر با استفاده از الگوریتم JNBE^۵ برای هر پیکسل به دست آمد و از نقشه تاری تصویر حاصل به طور تطبیقی به عنوان ضریبی از اجزای فرکانس بالای تصویر بهره برد. مزیت استفاده از فیلتر های پایین گذر، تضعیف نویز است؛ لیکن تاری تصویر یکی از مشکلات این فیلترها می باشد. متداول ترین روش در پیاده سازی فیلتر USM، استفاده از فیلتر پایین گذر گوسی^۶ (GUM) است. است. استفاده از روش GUM در سال های اخیر با اهداف خاص انجام شده است. مرجع [۸] یک الگوریتم افزایش وضوح خود کار متناسب با محتوا

را بر اساس فیلتر GUM ایجاد کرده که بر طول خطوط استخراج شده از تصویر متكی است. مرجع [۹] با استفاده از معیارهای ارزیابی کیفیت تصویر و نتایج آزمایش های ذهنی^۷ به تعیین خودکار میزان وضوح بهینه پرداخت. این روش با تعریف تابع هدف بر اساس تصویر بهبودیافته و حل آن با مسئله بهینه سازی، ضریب تقویت تصویر را تخمین زد. مرجع [۱۰] با روشی متفاوت به افزایش وضوح تصویر با استفاده از روش GUM در هرم لاپلاسی پرداخت. هرم لاپلاسی برای حفظ اطلاعات لبه های ضعیف و GUM برای بهبود جزئیات تصویر و سرکوب نویز استفاده شده است. مرجع [۱۱] با ارائه این موضوع که هیچ یک از روش های GUM موجود به حذف نویز پس زمینه نپرداخته اند، روشی ارائه داد که برخلاف روش های معمول، نویز فرکانس بالای پس زمینه تصویر را حذف کرد؛ در حالی که اطلاعات لبه حفظ شد و وضوح تصویر نیز افزایش یافت. مرجع [۱۲] روشی جدید برای بهبود کیفیت تصاویر ورودی با ترکیب دو روش GUM و توابع بهبود تمایز^۸ بیان کرد. با وجود تغییر چشم گیر افزایش وضوح در این روش، متأسفانه به دست اوردن مقادیر بهینه تابع بهبود تمایز باعث پیچیده تر شدن الگوریتم شده است. از دیگر تلاش های انجام شده در این حوزه، استفاده از فیلتر های پایین گذر غیرخطی همانند فیلتر انتشار ناهمسانگرد^۹، فیلتر دوطرفه^{۱۰} و فیلتر هدایت شده^{۱۱} مبتنی بر USM است که علاوه بر هموار سازی مناطق یکنواخت و حفظ لبه ها، مانع از تقویت نویز شده است. مرجع [۱۲] روش استفاده از فیلتر تطبیقی هدایت شده

1. Dynamic
2. Base Layer
3. Detail Layer
4. Local Blur Information
5. Just Noticeable Blur Estimation
6. Gaussian Unsharp Mask
7. Subjective
8. Contrast Enhancement Function
9. Anisotropic Diffusion Filter
10. Bilateral Filter
11. Guided Filter



شکل ۱: دیاگرام جعبه‌ای روش پیشنهادی.

به طور خودکار می‌شود. در ادامه هر بخش از این شکل تشریح می‌شود.

۱-۲ استخراج لبه

در این تحقیق از روش GUM [۲۸] برای استخراج لبه استفاده شده که با وجود پارامترهای مشخص، قابلیت تنظیم مناسبی دارد. نقشه لبه (EM) مطابق (۱) و شکل ۲ به صورت زیر بدست می‌آید:

$$\text{Edge Map} = I_{ref} - G \times I_{ref} \quad (1)$$

اعمال فیلتر هموارساز گوسی به تصویر ورودی منجر به تاری آن می‌شود و با کم کردن خروجی این فیلتر از تصویر ورودی، نقشه مؤلفه‌های فرکانس بالای تصویر (نقشه لبه) بدست می‌آید. در (۱)، G پاسخ ضربه فیلتر هموارساز گوسی است که به صورت زیر تعریف می‌شود

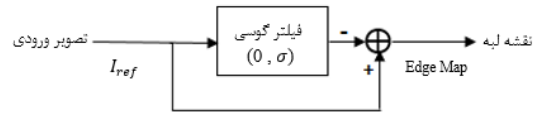
$$G(x, y) = \frac{1}{2\pi\sigma^2} e^{-\frac{x^2+y^2}{2\sigma^2}} \quad (2)$$

۲-۲ تولید نقشه برجستگی بصری

برای تولید نقشه برجستگی^۳ (SM) در روش پیشنهادی، دو رویکرد متفاوت قابل اجراست: استفاده از یک پایگاه داده تصاویر همانند [۲۹] که نقشه برجستگی آنها توسط ریابی چشم به دست آمده یا استفاده از یک مدل محاسباتی همانند مدل‌های ارائه شده در [۲۴] تا [۲۷]. تنها مزیت استفاده از رویکرد اول، بدست آوردن مقدار واقعی برجستگی بصری تصاویر است. با توجه به نتایج ارائه شده در [۲۴]، ما از مدل محاسباتی مشهور HFT برای تولید نقشه برجستگی در روش پیشنهادی استفاده کردیم. نقشه برجستگی در این مدل بر پایه خصوصیات تصویر ورودی (تمایز در شدت روشنایی یا رنگ) است. در واقع، مدل HFT با هموارکردن دامنه تبدیل فوریه چهارگانه تصویر ورودی تحت فیلترهای گوسی با ابعاد مختلف و سپس گرفتن عکس تبدیل فوریه، به محاسبه نقشه برجستگی با آنتروپی کمتر (ناحیه برجسته متمنکرتر) می‌پردازد.

۳-۲ ادغام نقشه لبه و نقشه برجستگی

همان طور که در شکل ۱ مشاهده می‌شود، I_{edge} با ادغام نقشه لبه



شکل ۲: مدل لبه.

یک تصویر، مکانیزم توجه بصری باعث می‌شود تنها به بخش کوچکی از تصویر توجه گردد و جزئیات در بخش‌های دیگر تصویر مورد توجه قرار نگیرد. طی سالیان گذشته به دلیل اهمیت و کاربرد توجه بصری، یافتن مدل محاسباتی برای آن یکی از موضوعات مهم تحقیقاتی بوده که نظرات فراوانی را به خود جلب کرده و چندین مدل محاسباتی برای آن ارائه شده است [۲۴] تا [۲۷]. مدل‌های محاسباتی ارائه شده با تولید یک نقشه موسوم به نقشه برجستگی، نقاط برجسته تصویر را که به دلیل دارا بودن مشخصه‌های خاصی، باعث تمایز از مناطق اطراف و جلب توجه می‌شود، تعیین می‌کند. امروزه دقت به عملکرد HVS و الگوگیری از آن در توسعه روش‌های پرکاربرد پردازش تصویر همچون بهبود تصویر و بهره‌مندی از آن در صنعت عکاسی ضروری است. مانشین نیز شبیه انسان می‌تواند برای افزایش وضوح تصویر از توجه بصری استفاده نماید.

در این مقاله با درنظر گرفتن مطالب ذکر شده، روش پیشنهادی جدیدی با هدف افزایش وضوح تصویر تحت نقشه برجستگی بصری ارائه شده است. این روش برخلاف روش‌های یادشده برای افزایش بهبود کیفیت تصویر به افزایش وضوح در لبه‌های تصویر با توجه به نقشه برجستگی بصری پرداخته است.

در بخش دوم مقاله به ارائه روش پیشنهادی می‌پردازیم. ارزیابی عملکرد این روش در بخش سوم آمده است و در نهایت بخش چهارم به جمع‌بندی مطالب گفته شده می‌پردازد و خلاصه‌ای از نوآوری‌های پیشنهادی را ارائه می‌کند.

۲- روش پیشنهادی

روش پیشنهادی این مقاله با هدف افزایش وضوح تصویر با لحاظ کردن برجستگی بصری طراحی شده است. شکل ۱ فرایند کلی این روش را نشان می‌دهد. به منظور دستیابی به هدف مورد نظر، یکتابع غیرخطی از رابطه بین نقشه مؤلفه‌های فرکانس بالای تصویر (نقشه لبه) و برجستگی بصری پیشنهاد شده است؛ به طوری که تعیین پارامترهای این تابع در قالب یک مسئله بهینه‌سازی، منجر به یافتن مقدار وضوح بهینه تصویر

1. Edge Map

2. Saliency Map

هیستوگرام تطبیقی^۳ (AHE) به نام متعادل‌سازی هیستوگرام تطبیقی تمایز محدود^۴ (CLAHE) استفاده شده است. این روش، تصویر I_{sharp} به چند تصویر فرعی بدون همپوشانی تقسیم می‌کند. در این صورت چند هیستوگرام برای یک تصویر محاسبه می‌شود که هر هیستوگرام، ناحیه مشخصی از تصویر را در بر می‌گیرد و سپس متعادل‌سازی هیستوگرام بر روی هر تصویر فرعی انجام می‌شود. این روش برای جلوگیری از افزایش تیزی بیش از اندازه در تصویر به محدود کردن وضوح با پرش سطح هیستوگرام بر روی فراوانی، قبل از متعادل‌سازی هیستوگرام می‌پردازد [۳۱]. با این کار جزئیات در تصویر به طور واضح نسبت به پس زمینه نشان داده شده و در نتیجه منجر به افزایش وضوح تصویر خروجی (I_{end}) با کیفیت بالا می‌شود.

۳- شبیه‌سازی

در این بخش، عملکرد روش پیشنهادی با پنج روش دیگر با توجه به معیار ارزیابی ذهنی^۵ ۲AFC و عینی^۶ IE و SSIM [۳۲] مقایسه می‌شود. روش‌های مورد مقایسه عبارتند از AUSM [۹]، GUSM [۶]، MMSICHE [۳۴] و HE [۳۵] NOUSM [۳۶].

شکل ۳، مجموعه‌ای از داده‌های ورودی را که شامل ۱۰ تصویر رنگی با سایز 512×512 است، نشان می‌دهد که این تصاویر از بانک داده کدک^۷ گرفته شده است. B1 تصویری با مناطق برجسته متوسط، B2 تا B5 تصاویری با مناطق برجسته کوچک و B6 تا B10 تصاویری با مناطق برجسته بزرگ هستند. همه آزمایش‌ها روی سیستمی با مشخصات Intel(R) Core(TM) i5-۳۳۳۷U CPU@۱.۸۰GHz ۱۰۰۰MHz رخواسته شده است. جدول ۱، نتایج ارزیابی ذهنی روش پیشنهادی را در مقایسه با دیگر روش‌های رقیب نشان می‌دهد. ارزیابی مطابق روش ۲AFC است. طبق این روش ارزیابی، حداقل از ۱۹ شرکت کننده که دارای بینایی سالم بودند، خواسته شد جفت تصاویر نشان داده شده را (دو تصویر کنار هم با فاصله عمودی و افقی یکسان بر روی یک پس زمینه نیمه خاکستری) به مدت ۵ ثانیه مشاهده و در طول بازه زمانی ۵ ثانیه دوم تصویر با کیفیت بهتر را، صرف نظر از میزان اطمینان از تصمیم خود، در پاسخ‌نامه ثبت کنند. شرکت کنندگان در مورد نحوه قرارگیری تصاویر اطلاعی نداشتند. در این آزمایش از صفحه نمایش ۱۵/۶ اینچ با رزولوشن 3840×2160 استفاده گردید. سطح روش‌نایابی صفحه نمایش ۵۰ درصد، روش‌نایابی اتفاق در حدود ۲۳۵-۲۵۰ لوكس و فاصله بین صفحه نمایش و شرکت کنندگان ۵۰ سانتی‌متر تنظیم گردید. قبل از شروع آزمایش به هر شرکت کننده نحوه انجام آزمایش توضیح داده شد و مدت زمان تقریبی هر آزمایش برای هر شرکت کننده حدود ۵ دقیقه بود.

برای نشان دادن اهمیت آماری نتایج حاصل از ارزیابی ذهنی انجام شده، از آزمون χ^2 استفاده شد که خروجی آن معروف به مقدار P ^۸ است. فرض صفر در این آزمون آن است که هیچ اختلافی بین دو تصویر (یعنی تصویر پیشنهادی و تصویر رقیب) وجود ندارد و تعداد آراء دو روش برابر است. به عبارت دیگر فرض می‌شود که اگر فرض صفر صحیح باشد نیمی از شرکت کنندگان به تصویر رقیب و نیمی دیگر به تصویر حاصل از مدل

3. Adaptive Histogram Equalization

4. Contrast Limited Adaptive Histogram Equalization

5. Two-Alternative Forced Choice Process

6. Objective

7. <http://r0k.us/graphics/kodak/>

8. P-Value

(EM) و نقشه برجستگی (SM) ورودی که در بالا توصیف گردید به دست می‌آید. این ادغام از طریق (۳) تعریف می‌شود

$$I_{edge}(x) = EM(x) \odot f(SM(x), \beta) \quad (3)$$

$$f(SM(x), \beta) = erf(\beta SM(x)) = \frac{2}{\sqrt{\pi}} \int_0^{\beta SM(x)} e^{-t^2} dt \quad (4)$$

که \odot ضرب پیکسلی و $f(SM(x), \beta)$ مقدار تابع f در پیکسل x است که با ضریب β تعریف می‌شود. برای پرهیز از اضافه شدن پیچیدگی و بار محاسباتی طبق نتیجه حاصل از [۳۰]، در اینجا از تابع غیرخطی خطأ^۹ ($erf(\cdot)$) به عنوان تابع f مطابق (۴) استفاده می‌شود که تعیین پارامتر آن از طریق یک فرایند بهینه‌سازی به دست می‌آید. طبق (۴)، $SM(x)$ برجستگی نرم‌الیزه شده (تقسیم بر مقدار بیشینه SM) در پیکسل x است که با یک ضریب β تعریف می‌شود. علت نرم‌الیزه کردن نقشه برجستگی، قراردادن مقادیر آن در محدوده [۰, ۱] است.

۴- بیشینه‌سازی تابع Q

برای داشتن تصویر I_{sharp} واضح‌تر، I_{edge} با ضرب در λ (ضریب تقویت) با تصویر ورودی I_{edge} مطابق رابطه زیر جمع می‌شود

$$I_{sharp} = I_{ref} + \lambda I_{edge} \quad (5)$$

که λ نقش مهمی در کیفیت تصویر I_{sharp} دارد و مقدار نامناسب آن در برخی موارد ممکن است باعث آثار ناخواسته شدید در I_{sharp} شود.

جهت به دست آوردن I_{sharp} بهینه همراه با پارامترهای کنترلی β و λ ، تابع Q زیر را مطابق [۹] تعریف می‌کنیم

$$Q = ZC^k + (1-z)D^l \quad (6)$$

$$C = SSIM(I_{sharp}, I_{over_sharp}) \quad (7)$$

$$D = SSIM(I_{ref}, I_{sharp}) \quad (8)$$

که در آن $SSIM$ ^{۱۰} معیار تشابه ساختاری است و تصویر I_{over_sharp} با استفاده از (۵) به دست می‌آید. تنها تفاوت تصویر I_{sharp} با I_{over_sharp} باشد. این است که بر اساس [۹] برای رسیدن به تصویر I_{over_sharp} ، مقدار β و λ آن (یعنی β_n و λ_n) تا رسیدن به واریانس ۷۰۰۰ با ۰/۵ گام افزایش می‌یابد؛ در صورتی که تصویر I_{sharp} همراه با پارامترهای کنترلی آن با بیشینه‌سازی تابع Q حاصل می‌شود. مقدار واریانس ۷۰۰۰ با ۰/۵ در روش پیشنهادی ما بهترین عملکرد (بیشترین وضوح تصویر نهایی) را نشان می‌دهد.

با تعیین پارامترهای z ، k و l با توجه به نتایج [۹]، مقدار آنها به ترتیب ۰/۵۰۴۶، ۰/۱۰۴۴۴ و ۰/۱۰۰۹۲ می‌باشد. از آنجایی که رابطه فوق مشتق پذیر نبوده و تابعی چندمتغیره و غیرخطی است، برای حل مسئله بهینه‌سازی (۶) از تابع fminsearch استفاده گردید. خاطرنشان می‌شود که مقادیر پارامترهای کنترلی اویله در دو تصویر I_{sharp} و I_{over_sharp} به صورت پیش‌فرض، یک در نظر گرفته شده است.

۵- تابع هیستوگرام

در این تحقیق برای پیاده‌سازی تابع هیستوگرام از نوعی متعادل‌سازی

1. Error Function

2. Structural Similarity Index



شکل ۳: مجموعه تصاویر انتخابی.

جدول ۱: مقایسه روش پیشنهادی توسط ارزیابی ذهنی با روش‌های AUSM، GUSM، NOUSM، HE و MMSICHE.

	B1	B2	B3	B4	B5	B6	B7	B8	B9	B10
AUSM: Proposed P-value	۱۴:۵ ۰/۰۳	۱۲:۷ ۰/۲	۱۲:۷ ۰/۲	۱۹:۰ ~۰	۱۴:۵ ۰/۰۳	۱۴:۵ ۰/۰۳	۹:۱۰ ۰/۸	۹:۱۰ ۰/۸	۵:۱۴ ۰/۰۳	۷:۱۲ ۰/۲
GUSM: Proposed P-value	۱۴:۵ ۰/۰۳	۱۴:۵ ۰/۰۳	۱۰:۹ ۰/۸	۱۶:۳ ~۰	۱۶:۳ ~۰	۱۰:۹ ۰/۸	۱۰:۹ ۰/۸	۱۲:۷ ۰/۲	۱۲:۷ ۰/۲	۹:۱۰ ۰/۸
NOUSM: Proposed P-value	۱۰:۹ ۰/۸	۱۶:۳ ~۰	۹:۱۰ ۰/۸	۱۶:۳ ~۰	۱۴:۵ ۰/۰۳	۱۰:۹ ۰/۸	۹:۱۰ ۰/۸	۱۰:۹ ۰/۸	۱۰:۹ ۰/۸	۱۰:۹ ۰/۸
HE: Proposed P-value	۹:۱۰ ۰/۸	۱۲:۷ ۰/۲	۹:۱۰ ۰/۸	۹:۱۰ ۰/۸	۱۰:۹ ۰/۸	۳:۱۶ ~۰	۳:۱۶ ~۰	۱۶:۳ ~۰	۳:۱۶ ~۰	۰:۱۹ ~۰
MMSICHE: Proposed P-value	۵:۱۴ ۰/۰۳	۱۰:۹ ۰/۸	۱۰:۹ ۰/۸	۱۴:۵ ۰/۰۳	۱۰:۹ ۰/۸	۵:۱۴ ۰/۰۳	۳:۱۶ ~۰	۳:۱۶ ~۰	۰:۱۹ ~۰	۳:۱۶ ~۰

جدول ۲: مقایسه روش پیشنهادی توسط معیار IE با روش‌های AUSM، GUSM، NOUSM، HE و MMSICHE.

	B1	B2	B3	B4	B5	B6	B7	B8	B9	B10
AUSM	۷,۳۹	۷,۵۲	۷,۶۷	۷,۴۲	۷,۳۳	۷,۰۵	۷,۰۶	۶,۹۶	۷,۵۶	۶,۶
GUSM	۷,۴۷	۷,۷۴	۷,۶۹	۷,۶۲	۷,۳۸	۶,۴۸	۶,۹۴	۶,۵۴	۷,۶۱	۵,۸۱
NOUSM	۷,۴	۷,۶۳	۷,۶۸	۷,۴۹	۷,۳۹	۷,۰۴	۷,۰۴	۶,۹۶	۷,۵۸	۶,۴۶
HE	۵,۹۴	۵,۹۷	۵,۹۸	۵,۹۷	۵,۹۷	۵,۹	۵,۹	۵,۹۱	۵,۹۷	۵,۶۲
MMSICHE	۷,۴	۷,۵۱	۷,۵۱	۷,۵۳	۷,۴۲	۶,۹۶	۶,۷۵	۶,۷۱	۷,۳۴	۶,۳۶
Proposed	۷,۴۲	۷,۸۲	۷,۶۶	۷,۷۶	۷,۶۵	۷,۶	۷,۴۴	۷,۵۹	۷,۷۱	۷,۵۳

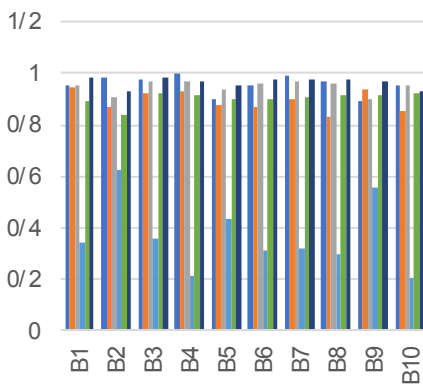
پیشنهادی تنها در انتخاب یک تصویر برتری خود را نشان می‌دهد. در روش GUSM نیز به این نکته در تصاویر B3، B6 و B7 می‌توان اشاره کرد.

جدول ۲، مقایسه‌ای را از روش پیشنهادی با روش‌های رقیب بر اساس معیار IE مطابق (۹) نشان می‌دهد

$$E = -\sum_{i=1}^{n_{\text{pix}}} p_i \log_p p_i \quad (9)$$

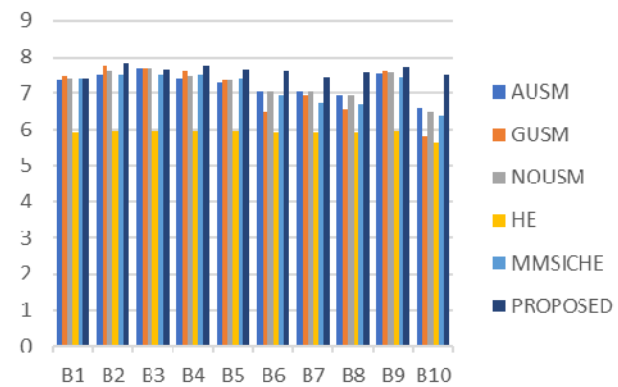
IE معیاری جهت اندازه‌گیری میزان اطلاعات تصویر است که به صورت گسترده برای ارزیابی تصویر مورد استفاده قرار می‌گیرد. در این نوع ارزیابی، هرچه مقدار آنتروپی تصویر بهبودیافته بیشتر باشد تصویر حاوی اطلاعات و جزئیات بیشتر است. در جدول ۲، مقادیر برای ۱۰ تصویر

پیشنهادی رأی داده‌اند. به عنوان یک قاعده کلی وقتی $P \leq 0,05$ است، فرض صفر اولیه رد می‌شود و این بدان معنی است که تصویر پیشنهادی، تعداد قابل توجهی از آرا را در مقایسه با تصویر دیگر به دست آورده و در نتیجه دارای کیفیت بهتری است. اگر P بیشتر از ۰,۰۵ باشد، روشی که بیشترین آرا را کسب کرده به طور قطع از عملکرد بهتری در مقایسه با روش دیگر برخوردار است. همان‌طور که در جدول ۱ نشان داده شده، مقدار P در مقایسه بین روش پیشنهادی و روش‌های رقیب با اختلاف انتخاب تنها یک تصویر نسبت به روش MMSICHE و HE، AUSM و NOUSM مورد قبول بوده و در روش NOUSM با این اختلاف انتخاب تنها یک تصویر نسبت به روش پیشنهادی در تصاویر B10، B8، B6 تا B1 مترتب روش NOUSM مشخص گردیده است. نتیجه حاصل شده بیانگر این موضوع است که تأثیر توجه بصری در افزایش وضوح تصویر نقش داشته که روش NOUSM نسبت به روش



(ب)

.SSIM : مقایسه روش پیشنهادی توسط معیارهای ارزیابی عینی با روش‌های [۳۶] MMSICHE، [۳۵] HE، [۳۴] NOUSM، [۳۳] GUSM، [۹] AUSM، [۹] IE و (ب) (الف)



(الف)

شکل ۴: مقایسه روش پیشنهادی توسط معیارهای ارزیابی عینی با روش‌های [۳۶] MMSICHE، [۳۵] HE، [۳۴] NOUSM، [۳۳] GUSM، [۹] AUSM، [۹] IE و (ب) (الف)

جدول ۳: مقایسه روش پیشنهادی توسط معیار SSIM با روش‌های SSIM با روش‌های [۳۶] MMSICHE، [۳۵] HE، [۳۴] NOUSM، [۳۳] GUSM، [۹] AUSM، [۹] IE و (ب)

	B1	B2	B3	B4	B5	B6	B7	B8	B9	B10
AUSM	0.95	0.98	0.97	0.99	0.9	0.95	0.99	0.96	0.99	0.95
GUSM	0.94	0.86	0.92	0.92	0.87	0.86	0.89	0.82	0.93	0.85
NOUSM	0.95	0.9	0.97	0.96	0.93	0.95	0.96	0.96	0.89	0.95
HE	0.34	0.62	0.35	0.2	0.43	0.31	0.29	0.55	0.2	0.2
MMSICHE	0.89	0.83	0.92	0.91	0.9	0.9	0.9	0.91	0.91	0.92
Proposed	0.98	0.92	0.98	0.96	0.95	0.97	0.97	0.97	0.97	0.93

جدول ۴: مقایسه میانگین مدت زمان اجرای روش پیشنهادی با روش‌های [۳۶] HE، [۳۴] NOUSM، [۳۳] GUSM، [۹] AUSM، [۹] IE و (ب) (الف)

	AUSM	GUSM	NOUSM	HE	MMSICHE	Proposed
Average	۱۲۹	۳,۶۱	۲,۸۴	۲,۰۱	۲,۳۷	۴,۴۶

در روش پیشنهادی بیشتر از روش‌های دیگر است که نشان‌دهنده افزایش کیفیت تصویر می‌باشد.

جدول ۴ مقایسه‌های از میانگین مدت زمان اجرا روی کل ۱۰ تصویر را برای روش پیشنهادی و روش‌های رقیب نشان می‌دهد. علی‌رغم عملکرد خوب روش پیشنهادی در افزایش وضوح، بیشترین زمان اجرا نیز متعلق به آن می‌باشد. استفاده از نقشه بر جستگی و ادغام آن با نقشه لبه باعث افزایش زمان اجرای الگوریتم پیشنهادی شده است.

جدول ۵، تأثیر مقدار σ بر میانگین PSNR و SSIM را در ۱۰ تصویر مورد آزمایش نشان می‌دهد. مطابق (۱)، نقشه لبه به مقدار σ درتابع G وابسته است. از آنجایی که این پارامتر در داشتن نقشه لبه باجزئیات بیشتر تأثیرگذار می‌باشد، مقادیر مختلف σ بر روی ۱۰ تصویر اعمال، میانگین PSNR و SSIM محاسبه و نتایج در جدول ۵ درج شده است. ارزیابی PSNR، رایج‌ترین معیار در بررسی کیفیت تصویر محسوب می‌شود. معیار PSNR مطابق رابطه زیر به دست می‌آید

$$PSNR(I_{ref}, I_{end}) = 10 \log_{10} \frac{\max(I_{end}(x, y))}{MSE} \quad (11)$$

$$MSE = \frac{1}{MN} \sum_{x=1}^M \sum_{y=1}^N (I_{end}(x, y) - I_{ref}(x, y))^2 \quad (12)$$

بر طبق (۱۱)، $I_{ref}(x, y)$ تصویر مرجع می‌باشد و واضح است که هرچه این معیار بزرگ‌تر باشد، نویز موجود در سیگنال نسبت به سیگنال اصلی کمتر است [۳۷]. مطابق جدول ۵، روش پیشنهادی با مقدار $\sigma = 0.6$ از نظر حفظ سیگنال در برابر نویز در مقایسه با مقدار دیگر σ عملکرد بهتری دارد و قادر به حفظ اطلاعات تصویر بر اساس دو معیار PSNR و SSIM می‌باشد.

جدول ۵: مقایسه میانگین مقادیر PSNR و SSIM روش پیشنهادی با σ مختلف روی ۱۰ تصویر.

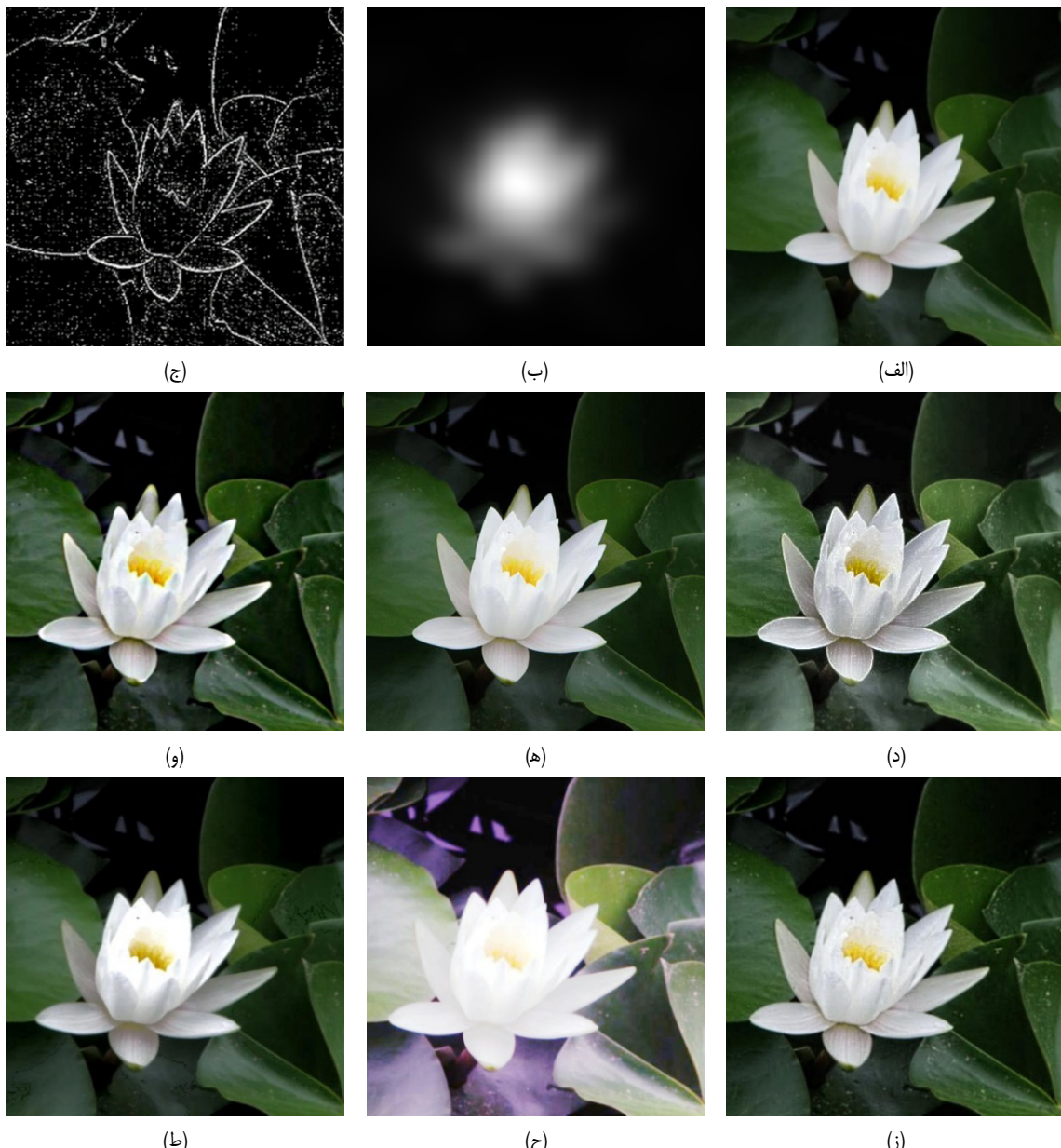
σ	۰.۶	۱	۱/۴
PSNR	۱۸.۱۰	۱۷.۶۸	۱۷.۶
SSIM	۰.۷۹۲۱	۰.۷۸۳۵	۰.۷۸۸۴

(شکل ۳) محاسبه شد و با توجه به آن، مقدار میانگین معیار IE در روش پیشنهادی بیشتر از روش‌های دیگر است که نشان‌دهنده حفظ بیشتر اطلاعات تصویر در روش پیشنهادی نسبت به روش‌های دیگر می‌باشد. طبق (۹)، P_i احتمال شدت روشنایی i ام در تصویر است.

جدول ۳، مقایسه‌ای از مقادیر SSIM روش پیشنهادی و روش‌های رقیب را توسط رابطه زیر نشان می‌دهد

$$SSIM(I_{ref}, I_{end}) = \frac{(2\mu_{I_{ref}}\mu_{I_{end}} + A_r)(2\sigma_{I_{ref}I_{end}} + A_r)}{(\mu_{I_{ref}}^2 + \mu_{I_{end}}^2 + A_r)(\sigma_{I_{ref}}^2 + \sigma_{I_{end}}^2 + A_r)} \quad (10)$$

معیار SSIM نسبت به معیارهای عینی دیگر، مشابهت بیشتری با معیارهای ذهنی دارد. این معیار بر اساس سه ویژگی روشنایی، کنتراست و ساختار (مقایسه ساختار دو تصویر بر اساس همبستگی آنها)، تصویر ورودی و تصویر بهبودیافته را با هم مقایسه می‌کند [۳۵]. طبق (۱۰)، $\mu_{I_{ref}}$ و $\mu_{I_{end}}$ به ترتیب میانگین و واریانس تصویر ورودی و $\sigma_{I_{ref}I_{end}}$ مقادیر ثابت هستند. هرچه مقدار SSIM به عدد یک نزدیک‌تر باشد، شباهت دو تصویر به هم بیشتر است. با توجه به این جدول، مقدار میانگین SSIM



شکل ۵: مقایسه مراحل روش پیشنهادی با روش‌های [۳۶] AUSM، [۳۳] GUSM، [۹] HE و [۳۵] NOUSM به صورت نمونه بر روی تصویر انتخابی ۷۷. (الف) تصویر ورودی، (ب) نقشه برجستگی، (ج) نقشه لبه، (د) Proposed، (ه) AUSM، (و) GUSM، (ز) HE و (ط) NOUSM.

روش (HFT) و نقشه لبه (با روش GUM) نیز ارائه شده است. شکل ۶ نتایج مقایسه خروجی روش پیشنهادی را با پنج روش رقیب بر روی ۳ تصویر دیگر (B۲، B۵ و B۹) نشان می‌دهد. همان طور که ملاحظه می‌کنید روش پیشنهادی از دید بیننده، عملکرد بهتری دارد.

۴- نتیجه‌گیری

ابتدا در این مقاله به مفهوم وضوح تصویر پرداختیم و بیان کردیم که علی‌رغم پژوهش‌های فراوانی که در زمینه افزایش وضوح تصویر انجام شده است، هیچ یک از آنها اثر برجستگی بصری را در تعیین میزان وضوح بهینه در نظر نگرفته‌اند. از آنجایی که اثر برجستگی بصری منجر به افزایش حساسیت بصری به آن نواحی نسبت به سایر نواحی غیربرجسته تصویر می‌شود بر آن شدیم تا با درنظرگرفتن مکانیزم برجستگی بصری، مدل بهبودیافته‌ای برای تعیین میزان وضوح بهینه تصاویر به دست آوریم. در مدل پیشنهادی، اعمال فیلتر هموارساز گوسی به تصویر ورودی منجر به تاری آن می‌شود. با کم کردن خروجی این فیلتر از تصویر ورودی، نقشه مؤلفه‌های فرانس بالای تصویر (نقشه لبه) به دست می‌آید. با به کارگیری

شکل ۴، روش پیشنهادی را با پنج روش رقیب بر اساس دو معیار IE و $SSIM$ و برای هر ۱۰ تصویر مقایسه می‌کند. در همه ۱۰ تصویر، روش پیشنهادی عملکرد بهتری را در مقایسه با روش‌های رقیب نشان می‌دهد. افزایش وضوح در نقاط برجسته تصویر و اعمال تابع هیستوگرام باعث این برتری شده است. با معیار $SSIM$ ، روش HE، دچار اشباع در روشانی شده و ظاهر طبیعی تصویر را مخدوش کرده است. روش MMSICHE از نظر میانگین روشانی و میانگین محتوای اطلاعات (انتروپی) بهتر از روش HE عمل می‌کند. روش GUSM با اعمال فیلتری همانند فیلتر هدایت‌شده، عملیات تیزسازی لبه و صاف کردن مناطق یکنواخت را به طور همزمان انجام می‌دهد. این روش در نمایش جزئیات تصاویر با برجستگی بزرگ خوب عمل نکرده و دچار افزایش بیش از اندازه وضوح شده و بنابراین تصاویری غیرطبیعی تولید می‌کند. روش NOUSM در نمایش جزئیات و روش AUSM در حفظ ساختار تصویر، عملکرد بهتری نشان داده‌اند و در نتیجه تصاویری طبیعی‌تر تولید کرده‌اند.

در شکل ۵ روش پیشنهادی با ۵ روش دیگر (روی تصویر ۷۷ مقایسه می‌شود. همچنین در مورد روش پیشنهادی، نقشه برجستگی (با



(ج)

(ب)

(الف)



(و)

(د)

(ه)



(ج)

(ب)

(الف)



(و)

(د)

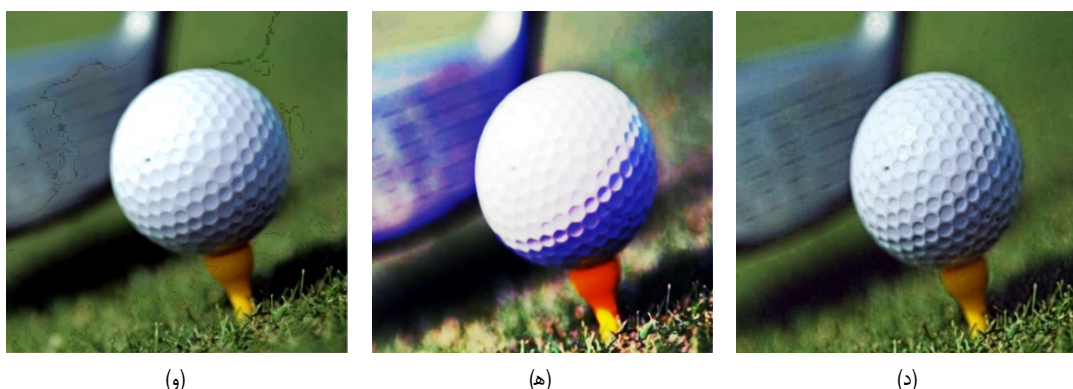
(ه)



(ج)

(ب)

(الف)



شکل ۶: مقایسه روش پیشنهادی با روش‌های [۳۴] NOUSM، [۳۳] GUSM، [۹] AUSM و [۲۵] MMSICHE بر روی تصاویر B۲، B۵ و B۶، (الف) (ب) Proposed، (ج) AUSM، (د) GUSM و (و) MMSICHE.

- [14] R. R. Kumar, A. Kumar, and S. Srivastava, "Anisotropic diffusion based unsharp masking and crispening for denoising and enhancement of MRI images," in *Proc. Int. Conf. on Emerging Frontiers in Electrical and Electronic Technologies, ICEFEET'20*, 6 pp., Patna, India, 10-11 Jul. 2020.
- [15] Z. Alameen, A. Muttar, and G. Albadrani, "Improving the sharpness of digital image using an amended unsharp mask filter," *International J. of Image, Graphics and Signal Processing*, vol. 11, no. 3, pp. 1-9, Mar. 2019.
- [16] S. H. Majeed and N. A. M. Isa, "Adaptive entropy index histogram equalization for poor contrast images," *IEEE Access*, vol. 9, pp. 6402-6437, 2021.
- [17] R. C. Gonzalez and R. E. Woods, *Digital Image Processing Using MATLAB*, 2nd Ed. New Delhi India: Pearson, 2004.
- [18] Y. T. Kim, "Contrast enhancement using brightness preserving bi-histogram equalization," *IEEE Trans. on Consumer Electronics*, vol. 43, no. 1, pp. 1-8, Feb. 1997.
- [19] S. D. Chen and A. R. Ramli, "Contrast enhancement using recursive meanseparate histogram equalization for scalable brightness preservation," *IEEE Trans. Consum. Electron.*, vol. 49, no. 4, pp. 1301-1309, Nov. 2003.
- [20] Q. Wang and R. Ward, "Fast image/video contrast enhancement based on weighted thresholded histogram equalization," *IEEE Trans. Consum. Electron.*, vol. 53, no. 2, pp. 757-764, Jun. 2007.
- [21] J. Y. Kim, L. S. Kim, and S. H. Hwang, "An advanced contrast enhancement using partially overlapped sub-block histogram equalization," *IEEE Trans. Circuits Syst. Video Technol.*, vol. 11, no. 4, pp. 475-484, Apr. 2001.
- [22] S. F. Tan and N. A. M. Isa, "Exposure based multi-histogram equalization contrast enhancement for non-uniform illumination images," *IEEE Access*, vol. 7, pp. 70842-70861, 2019.
- [23] Z. Shi, Y. Chen, E. Gavves, P. Mettes, and C. G. M. Snoek, "Unsharp mask guided filtering," *IEEE Trans. on Image Processing*, vol. 30, pp. 7472-74852021.
- [24] J. Li, M. D. Levine, X. An, X. Xu, and H. He, "Visual saliency based on scale-space analysis in the frequency domain," *IEEE Trans. on Pattern Analysis and Machine Intelligence*, vol. 35, no. 4, pp. 996-1010, Nov. 2013.
- [25] L. Itti, C. Koch, and E. Niebur, "A model of saliency-based visual attention for rapid scene analysis," *IEEE Trans. Pattern Anal. Mach. Intell.*, vol. 20, no. 11, pp. 1254-1259, Nov. 1998.
- [26] L. Itti and C. Koch, "A saliency-based search mechanism for overt and covert shifts of visual attention," *IEEE Trans. Image Process.*, vol. 13, no. 10, pp. 1304-1318, Jan. 2004.
- [27] A. Borji, M. M. Cheng, H. Jiang, and J. Li, "Salient object detection: a benchmark," *IEEE Trans. on Image Process.*, vol. 24, no. 12, pp. 5706-5722, Jan. 2015.
- [28] B. Zhang, J. P. Allebach, and Z. Pizlo, "An investigation of perceived sharpness and sharpness metrics," *Proc. SPIE, Image Quality and System Performance II*, vol. 5668, pp. 98-110, Jan. 2005.
- [29] T. Judd, K. Ehinger, F. Durand, and A. Torralba, "Learning to predict where humans look," in *Proc. IEEE 12th Int. Conf. on Computer Vision*, pp. 2106-2113, Kyoto, Japan, 29 Sept.-2 Oct. 2009.

[۳۰] ف. نعمتی خلیل‌آباد، ه. هادی‌زاده، ع. ابراهیمی‌مقدم و م. خادمی درح، "تحمین کمترین تفاوت قابل درک با استفاده از برجستگی بصری در تصاویر،" *فصلنامه پژوهش علائم و داده‌ها*، جلد ۱۷، شماره ۲، صص. ۷۱-۸۴، ۱۳۹۹.

یکتابع غیرخطی، میزان وضوح بهینه تصویر را با توجه به برجستگی بصری به دست آورده‌یم. تعیین پارامترهای تابع غیرخطی را در قالب یک مسئله بهینه‌سازی مدل‌سازی کردیم. همان‌طور که نتایج شبیه‌سازی نشان می‌دهند کیفیت بصری تصویر روش پیشنهادی نسبت به روش رقیب عملکرد خوبی دارد. نتایج آزمایش‌های کمی نیز این بهینه‌سازی را نشان می‌دهند. استفاده از فیلترهای غیرخطی پایین‌گذر در تولید نقشه لبه در ادامه این تحقیق پیشنهاد می‌شود.

مراجع

- [1] Tutorials: Sharpness. <http://www.cambridgeincolour.com/tutorials/sharpness.htm>. [Online] (visited on June 11, 2016).
- [2] M. Reichmann, Understanding sharpness, <https://luminouslandscape.com/rediscover-understanding-sharpness/>. [Online] (visited on June 27. 2018).
- [3] N. Strobel and S. K. Mitra, "Quadratic filters for image contrast enhancement," in *Proc. of 28th Asilomar Conf. on Signals, Systems and Computers*, vol. 1, pp. 208-212, Pacific Grove, CA, USA, 31 Oct-Nov. 1994.
- [4] C. Yin, Y. Zhou, S. Agaian, and C. L. Philip Chen, "Parametric rational unsharp masking for image enhancement," *SPIE 9019, Image Processing: Algorithms and Systems XII*, vol. 90190, 8 pp., Feb. 2014.
- [5] K. Kaur, N. Jindal, and K. Singh, "Fractional derivative based unsharp masking approach for enhancement of digital images," *Multimedia Tools and Applications*, vol. 80, pp. 3645-3679, Aug. 2021.
- [6] A. Polesel, G. Ramponi, and V. J. Mathews, "Image enhancement via adaptive unsharp masking," *IEEE Trans. on Image Processing*, vol. 9, no. 3, pp. 505-510, Mar. 2000.
- [7] W. Ye and K. K. Ma, "Blurriiness-guided unsharp masking," *IEEE Trans. on Image Processing*, vol. 27, no. 9, pp. 4465-4477, Jan. 2018.
- [8] T. Kobayashi and J. Tajima, "Content-adaptive automatic image sharpening," in *Proc. 20th Int. Conf. on Pattern Recognition*, pp. 2214-2217, Istanbul, Turkey, 23-26 Aug. 2010.
- [9] L. Krasula, P. L. Callet, K. Fliegel, and M. Klíma, "Quality assessment of sharpened images: challenges, methodology, and objective metrics," *IEEE Trans. on Image Processing*, vol. 26, no. 3, pp. 1496-1508, Mar. 2017.
- [10] X. Duan, et al., "A multiscale contrast enhancement for mammogram using dynamic unsharp masking in laplacian pyramid," *IEEE Trans. on Radiation and Plasma Medical Sciences*, vol. 3, no. 5, pp. 557-564, Sep. 2019.
- [11] B. J. Borah and C. K. Sun, "A GPU-accelerated modified unsharp-masking method for high-frequency background-noise suppression," *IEEE Access*, vol. 9, pp. 68746-68757, 2021.
- [12] I. Draganov and V. Gancheva, "Unsharp masking with local adaptive contrast enhancement of medical images," In Su, R., Zhang, YD., Liu, H. (eds) *Proc. of 2021 Int. Conf. on Medical Imaging and Computer-Aided Diagnosis*, Lecture Notes in Electrical Engineering, Springer, Singapore, vol. 784, pp. 354-363, Jan. 2021.
- [13] C. C. Pham and J. W. Jeon, "Efficient image sharpening and denoising using adaptive guided image filtering," *IET Image Processing*, vol. 9, no. 1, pp. 71-79, Jan. 2014.

پژوهشی ایشان پردازش سیگنال، بینایی و یادگیری ماشین است.

عباس ابراهیمی مقدم مدرک کارشناسی برق، گرایش الکترونیک خود را از دانشگاه صنعتی شریف در سال ۱۳۷۰ و مدرک کارشناسی ارشد را از دانشگاه صنعتی خواجه نصیر در سال ۱۳۷۴ اخذ کرده است. او مدرک دکتری خود را از دانشگاه McMaster کانادا دریافت نموده و از سال ۱۳۹۰ به عنوان استادیار در دانشگاه فردوسی مشهد فعالیت علمی کند. زمینه‌های پژوهشی مورد علاقه اوی پردازش گفتار، پردازش تصویر و یوئو، بینایی ماشین و پردازش سیگنال‌های حیاتی است.

مرتضی خادمی درح تحصیلات خود را در مقاطع کارشناسی و کارشناسی ارشد مهندسی برق به ترتیب در سال‌های ۱۳۶۴ و ۱۳۶۶ در دانشگاه صنعتی اصفهان به پایان رسانده است. نامبرده سال ۱۳۷۰ تا ۱۳۶۶ به عنوان عضو هیأت علمی (مربي) در دانشگاه فردوسی مشهد به کار مشغول بود. پس از آن به دوره دکترای مهندسی برق در دانشگاه ولونگونگ استرالیا وارد شده و در سال ۱۳۷۴ موفق به اخذ درجه دکتری در مهندسی برق از دانشگاه یادشده گردید. دکتر خادمی از سال ۱۳۷۴ دویاره در دانشگاه فردوسی مشهد مشغول به فعالیت شد و اینک نیز استاد این دانشکده است. زمینه‌های علمی مورد علاقه اوی شامل موضوعاتی مانند مخابرات یوئو، فشرده‌سازی یوئو، پردازش تصویر، پردازش سیگنال‌های پزشکی و پنهان‌سازی اطلاعات در یوئو است.

- [31] K. Zuiderveld, *Contrast Limited Adaptive Histogram Equalization*, Chapter VIII.5, Graphics Gems IV. P. S. Heckbert (Eds.), Cambridge, MA, Academic Press, Feb. 1994.
- [32] Z. Wang, A. C. Bovik, H. R. Sheikh, and E. P. Simoncelli, "Image quality assessment: from error visibility to structural similarity," *IEEE Trans. on Image Processing*, vol. 13, no. 4, pp. 600-612, Apr. 2004.
- [33] G. Deng, F. Galetto, M. Alnasrawi, and W. Waheed, "A guided edge-aware smoothing-sharpening filter based on patch interpolation model and generalized gamma distribution," *IEEE Open J. of Signal Processing*, vol. 2, pp. 119-135, Mar. 2021.
- [34] D. Ngo, S. Lee, and B. Kang, "Nonlinear unsharp masking algorithm," in *Proc. Int. Conf. on Electronics, Information, and Communication, ICEIC'20*, 6 pp., Barcelona, Spain, 19-22 Jan. 2020.
- [35] R. C. Gonzalez and R. E. Woods, *Digital Image Processing*, 4th Ed. New York, NY: Pearson, pp. 138-140, 2018.
- [36] K. Singh and R. Kapoor, "Image enhancement via median-mean based sub-image-clipped histogram equalization," *Optik-International J. for Light and Electron Optics*. vol. 125, no. 17, pp. 4646-4651, Sept. 2014.
- [37] T. Judd, K. Ehinger, F. Durand, and A. Torralba, "Learning to predict where humans look," in *Proc. IEEE 12th Int. Conf. on Computer Vision*, pp. 2106-2113, Kyoto, Japan, 29 Sept.-2 Oct. 2009.